

DOI: <https://doi.org/10.18454/mca.2022.27.5>**СВОБОДНЫЕ КОЛЕБАНИЯ БАЛОК С ПЕРЕМЕННЫМ ПОПЕРЕЧНЫМ СЕЧЕНИЕМ**

Научная статья

Рзаев Н.С.^{1*}, Аббасова Г.Н.²¹ Бакинский инженерный университет, Баку, Азербайджан² Азербайджанский технический университет, Баку, Азербайджан

* Корреспондирующий автор (natiq.rzayev.1984[at]list.ru)

Аннотация

В данной работе исследуются свободные колебания разномодульной, неоднородной по толщине и длине балки, находящейся на основании, характеризуемые двумя константами. Поскольку уравнение движения является сложным дифференциальным уравнением четвертого порядка с частными производными относительно изгиба, то оно решается приближенным аналитическим методом. На первом этапе используется метод разложения на переменные, а на втором – ортогонализации Бубнова-Галеркина. Вычисления проводятся в первом приближении. Строится кривая зависимости частоты от неоднородности. Здесь, также, учитывается вариабельность плотности. Вычисления проводятся в основном при линейном изменении характеристических функций по толщине и длине балки.

Ключевые слова: растяжение, сжатие, изгиб, кручение, эластичность, круговая частота, колебание.

FREE OSCILLATIONS OF BEAMS WITH VARIABLE CROSS-SECTION

Research article

Rzaev N.S.^{1*}, Abbasova G.N.²¹ Baku Engineering University, Baku, Azerbaijan² Azerbaijan Technical University, Baku, Azerbaijan

* Corresponding author (natiq.rzayev.1984[at]list.ru)

Abstract

In this paper, free oscillations of a beam of different modules, heterogeneous in thickness and length, located on the base, characterized by two constants, are examined. Since the equation of motion is a complex fourth-order differential equation with respect to bending, it is solved with an approximate analytical method. At the first stage, the variable decomposition method is used, and at the second – the Bubnov-Galerkin orthogonalization. Calculations are carried out in the initial approximation. A curve of frequency dependence on inhomogeneity is constructed. Here the variability of density is taken into account as well. Calculations are carried out mainly with a linear change in the characteristic functions of the thickness and length of the beam.

Keywords: stretching, compression, bending, rotation, elasticity, rotational frequency, oscillation.

Введение

В современное время, балки, доски и покрытия с переменным поперечным сечением из различных материалов находят широкое применение в строительстве различных комплексов, эстакад и мостов, машиностроении и многих других областях. При эксплуатации этих элементов конструкции возникает необходимость изучения вопросов колебательного движения.

Результаты и обсуждение

Следует отметить, что в рамках классической теории упругости детально изучены вопросы устойчивости и колебательного движения балок с переменным поперечным сечением. Однако, при решении этих задач не учитывались разномодульность и сопротивление внешней среды. В настоящее время во многих областях строительства и машиностроении используют материалы, обладающие сложными свойствами, не подчиняющимися основным законам классической теории упругости и пластичности. Среди них широко используются материалы, оказывающие различное сопротивление растяжению-сжатию и скручиванию. Следует отметить, что учет разномодульности и сопротивления внешней среды создает определенные трудности при изучении колебательных движений. А если их не предусмотреть, то это приведет к многочисленным ошибкам.

В случае, когда материал балки является разномодульным, с переменным поперечным сечением, а также учитывается сопротивление внешней среды, решение задачи становится трудным и анализ полученных результатов усложняется.

В рассматриваемой задаче предполагается, что поперечное сечение балки переменное, имеет две оси симметрии и расположено на основании Пастернаковского типа [1].

Распределение напряжения по поперечному сечению записывается следующим образом:

$$\begin{aligned}\sigma^+ &= E^+(e - z\varphi) \quad z \in S_1 \\ \sigma^- &= E^-(e - z\varphi) \quad z \in S_2\end{aligned}\quad (1)$$

Здесь E^+ , E^- – модули упругости при растяжении и сжатии, e , \wp – соответственно, деформация и кривизна центральной линии, S_1 – площадь растягиваемой области, S_2 – площадь сжимаемой области.

Граница нейтральной оси z_0 связана с деформацией e и кривизной \wp следующим образом:

$$e - z_0\wp = 0 \quad (2)$$

Условие равновесия:

Условия отсутствия осевой силы:

$$\int_{S_1} \sigma^+ ds + \int_{S_2} \sigma^- ds = 0 \quad (3)$$

Уравнение изгибающего момента:

$$M = \int_{S_1} \sigma z ds + \int_{S_2} \sigma^- z ds \quad (4)$$

Упростим выражение (4):

$$E^+ \int_{S_1} (e - z_0\wp) ds + E^- \int_{S_2} (e - z_0\wp) ds = 0 \quad (5)$$

Учитывая обозначение $\alpha = \frac{E^-}{E^+}$ и выражение (2), получим следующее выражение:

Если учитывать здесь (2), то

$$\int_{S_1} (z - z_0) ds + \alpha \int_{S_2} (z - z_0) ds = 0$$

или

$$z_0 = \frac{\int_{S_1} z ds + \alpha \int_{S_2} z ds}{\int_{S_1} ds + \alpha \int_{S_2} ds} \quad (6)$$

Произведем следующую замену:

$$a_1 = \int_{S_1} ds; a_2 = \int_{S_2} ds; a_3 = \int_{S_1} z ds; a_4 = \int_{S_2} z ds;$$

С учетом замен выражение (6) записывается следующим образом:

$$z_0 = \frac{a_3 + \alpha a_4}{a_1 + \alpha a_2} \quad (7)$$

Вычислим изгибающий момент:

$$M = E^+ \int_{S_1} (e - z_0\wp) z ds + E^- \int_{S_2} (e - z_0\wp) z ds \quad (8)$$

или

$$M = E^+ J_0 \left[\frac{1}{J_0} \left(a_5 + \alpha a_6 - \frac{(a_3 + \alpha a_4)^2}{a_1 + \alpha a_2} \right) \right] \wp \quad (9)$$

В выражении (9) были произведены замены: $a_5 = \int_{S_1} z^2 dz$, $a_6 = \int_{S_2} z^2 dz$.

Примем следующее обозначение:

$$K = \frac{1}{J_0} \left[a_5 + \alpha a_6 - \frac{(a_3 + \alpha a_4)^2}{a_1 + \alpha a_2} \right] \quad (10)$$

Если подставить выражение (10) в выражение (9), то получим:

$$M = E^+ J_0 K \frac{\partial^2 W}{\partial x^2} \quad (11)$$

здесь $E^+ J_0$ – жесткость упругой балки при изгибе, W – изгиб.

Если основание является Пастернаковского типа, то уравнение движения записывается следующим образом:

$$E^+ J_0 \frac{\partial^2}{\partial x^2} \left[K(x) \frac{\partial^2 W}{\partial x^2} \right] + K_1 W - K_2 \frac{\partial^2 W}{\partial x^2} + \rho_0 h(x) \frac{\partial^2 W}{\partial t^2} = 0 \quad (12)$$

Когда основание является типом Фусса-Винклера, то уравнение записывается следующим образом:

$$E^+ J_0 \frac{\partial^2}{\partial x^2} \left[K(x) \frac{\partial^2 W}{\partial x^2} \right] + K_v (1 + \varepsilon \phi(x)) W + \rho_0 h(x) \frac{\partial^2 W}{\partial t^2} = 0 \quad (13)$$

А когда, основание является неоднородным вязкоупругим, то уравнение имеет следующий вид:

$$E^+ J_0 \frac{\partial^2}{\partial x^2} \left[K(x) \frac{\partial^2 W}{\partial x^2} \right] + K_1(x) W - K_2(x) \frac{\partial^2 W}{\partial x^2} + \rho_0 h(x) \frac{\partial^2 W}{\partial t^2} = 0 \quad (14)$$

Анализируем задачу, при которой поперечное сечение балки имеет переменный прямоугольный вид.

Для этого необходимо установить связь между границей нейтральной оси, деформацией, кривизной и изгибающим моментом.

Запишем уравнения равновесия и нейтральной оси.

Граница нейтральной оси z_0 определяется следующим уравнением:

$$e - z_0 \phi = 0 \quad (15)$$

Условия отсутствия осевой силы (для прямоугольной балки с поперечным сечением b):

$$\int_{-h(x)}^{z_0} \sigma^+ dz + \int_{z_0}^{h(x)} \sigma^- dz = 0 \quad (16)$$

Уравнение изгибающего момента:

$$M = b \left[\int_{-h(x)}^{z_0} \sigma^+ z dz + \int_{z_0}^{h(x)} \sigma^- z dz \right] \quad (17)$$

Сначала исследуем уравнение (16). Учитывая (15), уравнения (16) и (17) можно записать следующим образом:

$$\int_{-h(x)}^{z_0} (e - \phi z) dz + \alpha \int_{z_0}^{h(x)} (e - z \phi) dz = 0 \quad (18)$$

$$\left[\int_{-h(x)}^{z_0} (e - z \phi) z dz + E^- \int_{z_0}^{h(x)} (e - z \phi) z dz \right] = \frac{M}{E^+ b} \quad (19)$$

Из уравнения (18) можно записать:

$$e \left(\int_{-h(x)}^{z_0} dz + z \int_{z_0}^{+h(x)} dz \right) - \phi \left(\int_{-h(x)}^{z_0} z dz + \alpha \int_{z_0}^{+h(x)} z dz \right) = 0 \quad (20)$$

Отсюда получим:

$$e = \phi \frac{\int_{-h(x)}^{z_0} z dz + \alpha \int_{z_0}^{h(x)} z dz}{\int_{-h(x)}^{z_0} dz + \alpha \int_{z_0}^{+h(x)} dz} \quad (21)$$

Из уравнения (19) получим следующее выражение:

$$\frac{M}{E^+ b} = e \left(\int_{-h(x)}^{z_0} z dz + \int_{z_0}^{+h(x)} z dz \right) - \phi \left(\int_{-h(x)}^{z_0} z^2 dz + \alpha \int_{z_0}^{+h(x)} z^2 dz \right) \quad (22)$$

Учитывая выражение (21) в (22), можно написать:

$$\frac{M}{E^+b} = \wp \cdot \left[\frac{\left(\int_{-h(x)}^{z_0} z dz + \alpha \int_{z_0}^{+h(x)} z dz \right)^2}{\int_{-h(x)}^{z_0} dz + \alpha \int_{z_0}^{+h(x)} dz} - \left(\int_{h(x)}^{z_0} z^2 dz + \alpha \int_{z_0}^{+h(x)} z^2 dz \right) \right] \quad (23)$$

Примем следующее обозначение:

$$K = \frac{1}{J_0} \left[\frac{\left(\int_{-h(x)}^{z_0} z dz + \alpha \int_{z_0}^{+h(x)} z dz \right)^2}{\int_{-h(x)}^{z_0} dz + \alpha \int_{z_0}^{+h(x)} dz} - \left(\int_{h(x)}^{z_0} z^2 dz + \alpha \int_{z_0}^{+h(x)} z^2 dz \right) \right] \quad (24)$$

E^+J_0 ($J = \frac{bh^3}{12}$) является жесткостью балки с прямоугольным поперечным сечением при изгибе. Учитывая (24) в (23), можем написать:

$$M = E^+J_0K(x) \frac{\partial^2 W}{\partial x^2} \quad (25)$$

Было принято $-h(x) = h_0 \left(1 + \varepsilon \frac{x}{l} \right)$, $\varepsilon \in [0,1]$. Вычислим выражение $K(x)$. Здесь, h_0 – двукратная величина толщины балки с постоянным поперечным сечением, l – длина балки ($\bar{x} = x \cdot l^{-1}$).

Вычислим интегралы $\int_{-h_0(1+\varepsilon\bar{x})}^{+h_0(1+\varepsilon\bar{x})} dz$, $\int_{-h_0(1+\varepsilon\bar{x})}^{+h_0(1+\varepsilon\bar{x})} z dz$, $\int_{-h_0(1+\varepsilon\bar{x})}^{+h_0(1+\varepsilon\bar{x})} z^2 dz$:

$$\begin{aligned} \int_{-h_0(1+\varepsilon\bar{x})}^{+h_0(1+\varepsilon\bar{x})} dz &= \int_{-h_0(1+\varepsilon\bar{x})}^{z_0} dz + \alpha \int_{z_0}^{+h_0(1+\varepsilon\bar{x})} dz = z_0 + h_0(1 + \varepsilon\bar{x}) + \alpha[h_0(1 + \varepsilon\bar{x}) - z_0] \\ &= z_0(1 - \alpha) + h_0(1 + \varepsilon\bar{x}) \\ \int_{-h_0(1+\varepsilon\bar{x})}^{+h_0(1+\varepsilon\bar{x})} z dz &= z_0(1 - \alpha) + h_0(1 + \varepsilon\bar{x}) \end{aligned} \quad (26)$$

$$\begin{aligned} \int_{-h_0(1+\varepsilon\bar{x})}^{z_0} z dz + \alpha \int_{z_0}^{+h_0(1+\varepsilon\bar{x})} z dz &= \frac{1}{2} [z_0^2 - h_0^2(1 + \varepsilon\bar{x})] + \frac{\alpha}{2} [h_0^2(1 + \varepsilon\bar{x})^2 - z_0^2] \\ &= \frac{1}{2} z_0^2(1 - \alpha) - \frac{h_0^2}{2} (1 - \alpha)(1 + \varepsilon\bar{x})^2 \end{aligned} \quad (27)$$

$$\begin{aligned} \int_{-h_0(1+\varepsilon\bar{x})}^{z_0} z^2 dz + \alpha \int_{z_0}^{+h_0(1+\varepsilon\bar{x})} z^2 dz &= \frac{1}{3} [z_0^3 - h_0^3(1 + \varepsilon\bar{x})^3] + \frac{\alpha}{3} [h_0^3(1 + \varepsilon\bar{x})^3 - z_0^3] \\ &= \frac{1}{3} z_0^3(1 - \alpha) - \frac{1}{3} (1 + \alpha) h_0^3(1 + \varepsilon\bar{x})^3 \end{aligned} \quad (28)$$

Отметим, что для одномодульной балки с переменным поперечным сечением приведенные выше интегралы имеют следующие значения:

$$\int_{-h_0(1+\varepsilon\bar{x})}^{+h_0(1+\varepsilon\bar{x})} dz = 2h_0(1 + \varepsilon\bar{x}); \int_{-h_0(1+\varepsilon\bar{x})}^{+h_0(1+\varepsilon\bar{x})} z dz = 0; \int_{-h_0(1+\varepsilon\bar{x})}^{+h_0(1+\varepsilon\bar{x})} z^2 dz = -\frac{2}{3} h_0^3(1 + \varepsilon\bar{x})^3 \quad (29)$$

Для одномодульной балки с постоянной высотой получаются следующие значения:

$$\int_{-h_0}^{+h_0} dz = 2h_0; \int_{-h_0}^{+h_0} z dz = 0; \int_{-h_0}^{+h_0} z^2 dz = -\frac{2}{3} h_0^3 \quad (30)$$

Для упрощения вычислений мы отбросим члены пределы, где участвуют ε^2 и ε^3 , потому что они очень малы по сравнению с другими.

Выражение (26) остается прежним.

Пределы для (27) и (28) записываются следующим образом:

$$\begin{aligned} \int_{-h_0(1+\varepsilon\bar{x})}^{+h_0(1+\varepsilon\bar{x})} z dz &\approx \frac{1}{2} z_0^2(1 - \alpha) - \frac{h_0^2}{2} (1 - \alpha)(1 + 2\varepsilon\bar{x}) \\ \int_{-h_0(1+\varepsilon\bar{x})}^{+h_0(1+\varepsilon\bar{x})} z^2 dz &\approx \frac{1}{3} z_0^3(1 - \alpha) - \frac{h_0^3}{3} (1 - \alpha)(1 + 3\varepsilon\bar{x}) \end{aligned} \quad (31)$$

Выражение функции K записывается следующим образом:
Для одномодульной балки:

$$K = \frac{1}{J} \left[\frac{0}{2h_0(1 + \varepsilon\bar{x})} - \frac{2}{3} h_0^3(1 + \varepsilon\bar{x}) \right] = -(1 + 3\varepsilon\bar{x}) \quad (32)$$

Для одномодульной балки:

$$K_V = -(1 + 3\varepsilon\bar{x}) \quad (33)$$

Тогда, дифференциальное уравнение записывается следующим образом:

$$\frac{\partial^2}{\partial x^2} \left[(1 + 3\varepsilon\bar{x}) \frac{\partial^2 W}{\partial x^2} \right] + \bar{C}_1(x)W - \bar{C}_2(x) \frac{\partial^2 W}{\partial x^2} + \rho h_0(1 + \varepsilon\bar{x}) \frac{\partial^2 W}{\partial t^2} = 0 \quad (34)$$

$$(1 + 3\varepsilon\bar{x}) \frac{\partial^4 W}{\partial x^4} + 3\varepsilon l^{-1} \frac{\partial^3 W}{\partial x^3} + \bar{C}_1(x)W + \bar{C}_2(x) \frac{\partial^2 W}{\partial t^2} + \rho h_0(1 + \varepsilon\bar{x}) \frac{\partial^2 W}{\partial t^2} = 0 \quad (35)$$

Как видно, (35) является сложным уравнением, и при его решении мы используем разложение на переменные и метод ортогонализации Бубнова-Галеркина. На первом этапе определим изгиб W следующим образом:

$$W = V(x)e^{i\omega t} \quad (36)$$

Функция $V(x)$ должна удовлетворять граничным условиям.

Если подставить выражение (36) в уравнении движения (35), то получим:

$$(1 + 3\varepsilon\bar{x}) \frac{d^4 V}{dx^4} + 3\varepsilon l^{-1} \frac{d^3 V}{dx^3} + \bar{C}_1(x)V - \omega^2 [\bar{C}_2(x) + \rho_0 h(1 + \varepsilon\bar{x})]V = 0 \quad (37)$$

Уравнение (37) решается методом ортогонализации Бубнова-Галеркина. Функцию изгиба определим следующим образом:

$$V(x) = \sum_{i=1}^n b_i \theta_i(x) \quad (38)$$

Здесь b_i – неизвестные постоянные, каждый из $\theta_i(x)$ должен удовлетворять граничным условиям. С учетом (35) и (39) функция ошибки погрешности записывается следующим образом:

$$\eta(x) = \sum_{i=1}^n b_i \left[(1 + 3\varepsilon\bar{x}) \frac{d^4 \theta_i}{dx^4} + 3\varepsilon l^{-1} \frac{d^3 \theta_i}{dx^3} + \bar{C}_1(x) - \omega^2 (\bar{C}_2(x) + \rho_0 h(1 + \varepsilon\bar{x})) \right] \theta_i \neq 0 \quad (39)$$

Ортогональность удовлетворяет следующему условию:

$$\int_0^l \eta(x) \theta_q dx = 0; \quad q = 1, 2, \dots \quad (40)$$

При любом приближении ω^2 определяется из системы линейных однородных уравнений, состоящих из b_i . Во избежание тривиального решения задачи, главный определитель системы (40) необходимо приравнять нулю.

$$\|\omega^2\| = 0 \quad (41)$$

Уравнение (41) является n – порядковым алгебраическим уравнением, и несмотря на то, что его решение сопровождается определенной трудностью, в инженерных расчетах удовлетворяются первым приближением, т.е. ω^2 определяется следующим уравнением:

$$\int_0^l \left[(1 + \varepsilon\bar{x}) \frac{d^4 \theta_1}{dx^4} + 3\varepsilon l^{-1} \frac{d^3 \theta_1}{dx^3} + \bar{C}_1(x)\theta_1 - \omega^2 [\bar{C}_2(x) + \rho_0 h_0(1 + \varepsilon\bar{x})]\theta_1 \right] \theta_1(x) dx = 0 \quad (42)$$

Отсюда определяется ω^2 :

$$\omega^2 = \frac{\int_0^l \left[(1 + \varepsilon \bar{x}) \frac{d^4 \theta_1}{dx^4} + 3\varepsilon l^{-1} \frac{d^3 \theta_1}{dx^3} + \bar{C}_1(x) \theta_1 \right] \theta_1(x) dx}{\int_0^l [\bar{C}_2(x) + \rho_0 h_0 (1 + \varepsilon \bar{x})] \theta_1^2(x) dx} \quad (43)$$

Для численных расчетов необходимо задать конкретные значения функций $\theta_1(x)$; $C_1(x)$; $C_2(x)$. Производим вычисления для балки, концы которой закреплены шарнирами. В таком случае можно принять $\theta_1(x) = \sin \frac{m\pi}{l} x$.

Рассмотрим случай, когда характеристики основания изменяются линейно по длине балки:

$$\bar{C}_1(x) = (1 + \mu \bar{x}) \bar{K}_1; \bar{C}_2(x) = (1 + \mu \bar{x}) \bar{K}_2 \quad (44)$$

С учетом (44) и $\theta_1(x) = \sin \frac{m\pi}{l} x$, (43) записывается следующим образом:

$$\omega^2 = \frac{\int_0^l \left[\left(\frac{m\pi}{l} \right)^4 (1 + 3\varepsilon \bar{x}) \sin \frac{m\pi}{l} x - 3\varepsilon \left(\frac{m\pi}{l} \right)^3 \frac{1}{l-3} \cos \frac{m\pi}{l} x \right] \sin \frac{m\pi}{l} x dx}{\int_0^l [K_2(1 + \mu \bar{x}) + \rho_0 h_0 (1 + \varepsilon \bar{x})] \sin^2 \frac{m\pi}{l} x dx + \frac{\int_0^l [\bar{K}_1(1 + \mu \bar{x}) \sin \frac{m\pi}{l} x] \sin \frac{m\pi}{l} x dx}{\int_0^l [\bar{K}_2(1 + \mu \bar{x}) + \rho_0 h_0 (1 + \varepsilon \bar{x})] \sin^2 \frac{m\pi}{l} x dx}} \quad (45)$$

После некоторых элементарных преобразований получим:

$$\omega^2 = \frac{\left(\frac{m\pi}{l} \right)^4 (1 + 1,5\varepsilon) + \bar{K}_1(1 + 0,5\mu)}{\bar{K}_2(1 + 0,5\mu) + \rho_0 h_0 (1 + 0,5\varepsilon)} \quad (46)$$

Из функции (46) можно вывести следующие частные случаи:

1. Не учитывается сопротивление внешней среды:

$$\omega^2 = \frac{\left(\frac{m\pi}{l} \right)^4 (1 + 1,5\varepsilon)}{\rho_0 h_0 (1 + 0,5\varepsilon)} = \left(\frac{m\pi}{l} \right)^4 (\rho_0 h_0)^{-1} \frac{1 + 1,5\varepsilon}{1 + 0,5\varepsilon} \quad (47)$$

2. Балка имеет постоянную толщину, сопротивление внешней среды не учитывается.

$$\omega^2 = \left(\frac{m\pi}{l} \right)^4 \frac{1}{\rho_0 h_0} \quad (48)$$

3. Балка имеет постоянное поперечное сечение и учитывается сопротивление внешней среды:

$$\omega^2 = \frac{\left(\frac{m\pi}{l} \right)^4 + \bar{K}_1(1 + 0,5\mu)}{\bar{K}_2(1 + 0,5\mu) + \rho_0} \quad (49)$$

4. Балка находится на основании типа Vinkler:

$$\omega_V^2 = \frac{\left(\frac{m\pi}{l} \right)^4 (1 + 1,5\varepsilon) + \bar{K}_1(1 + 0,5\mu)}{\rho_0 h_0 (1 + 0,5\varepsilon)} \quad (50)$$

5. Балка с постоянной толщиной находится на основании типа Vinkler:

$$\omega_V^2 = \frac{\left(\frac{m\pi}{l} \right)^4 + \bar{K}_1}{\rho_0 h} \quad (51)$$

Результаты вычислений, проведенных для частных случаев, представлены в таблицах и в виде кривых соответствующих зависимостей.

Таблица 1 – Зависимость между частотой ($\bar{\omega}_*^2$) и параметром, характеризующим неоднородность

ε	$\omega_*^2 = \frac{1 + 0,5\varepsilon}{1 + 1,5\varepsilon}$
0	1
0,2	0,846
0,4	0,75
0,6	0,984
0,8	0,636
1,0	0,6

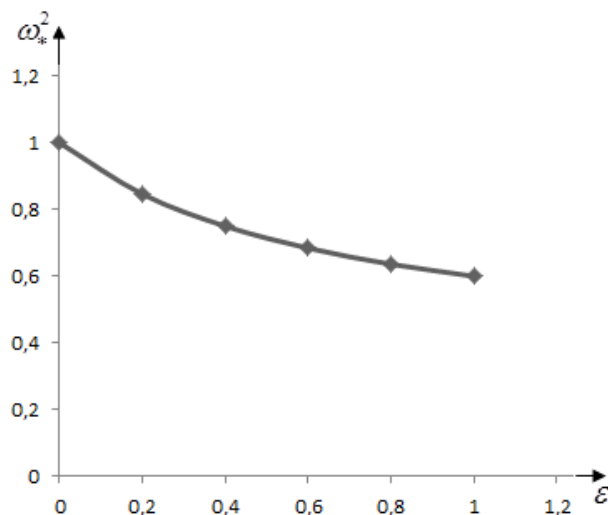


Рис. 1 – Зависимость между частотой ($\bar{\omega}_*^2$) и параметром, характеризующим неоднородность

Чтобы произвести вычисления для усложненного случая, запишем выражение (46) следующим образом:

$$\omega^2 = \frac{\left(\frac{m\pi}{l}\right)^4 + \bar{K}_1 \frac{(1 + 0,5\mu)}{1 + 1,5\varepsilon}}{\bar{K}_2 \frac{1 + 0,5\mu}{1 + 1,5\varepsilon} + \rho_0 h_0 \frac{(1 + 0,5\varepsilon)}{1 + 1,5\varepsilon}} \quad (52)$$

Примем следующую замену:

$$n_1 = \frac{1 + 0,5\mu}{1 + 1,5\varepsilon}; \quad n_2 = \frac{1 + 0,5\varepsilon}{1 + 1,5\varepsilon} \quad (53)$$

Учитывая (53), можем записать выражение (52) следующим образом:

$$\omega^2 = \frac{\left(\frac{m\pi}{l}\right)^4 + n_1 \bar{K}_1}{n_1 \bar{K}_2 + \rho_0 n_2 h_0} \quad (54)$$

Зависимости параметров n_1 и n_2 от ε и μ представлены в таблицах и в виде кривых соответствующих зависимостей.

Таблица 2 – Зависимость между параметрами, характеризующими вариабельность высоты и неоднородность основания

ε	n_1		
	$\mu = 0$	$\mu = 0,5$	$\mu = 1,0$
0	1	1,25	1,5
0,2	0,769	0,961	1,153
0,4	0,625	0,781	0,937
0,6	0,526	0,657	0,789
0,8	0,454	0,568	0,681
1,0	0,4	0,5	0,6

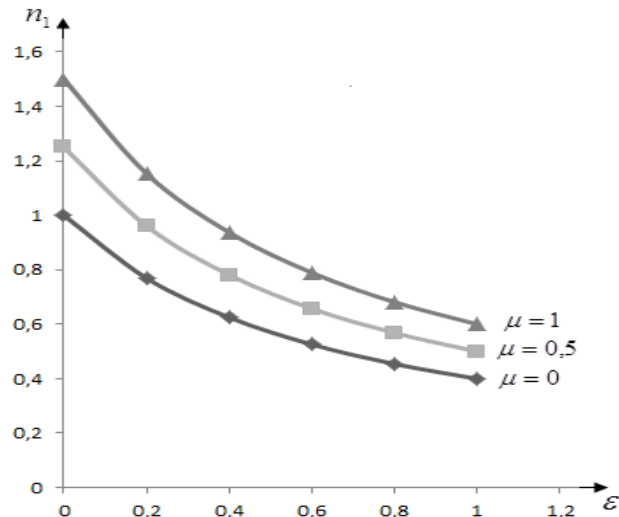


Рис. 2 – Зависимость между параметрами, характеризующими вариабельность высоты и неоднородность основания

Таблица 3 – Зависимость между параметрами, характеризующими высоту балки

ϵ	n_2
0	1
0,2	0,846
0,4	0,75
0,6	0,684
0,8	0,636
1,0	0,6

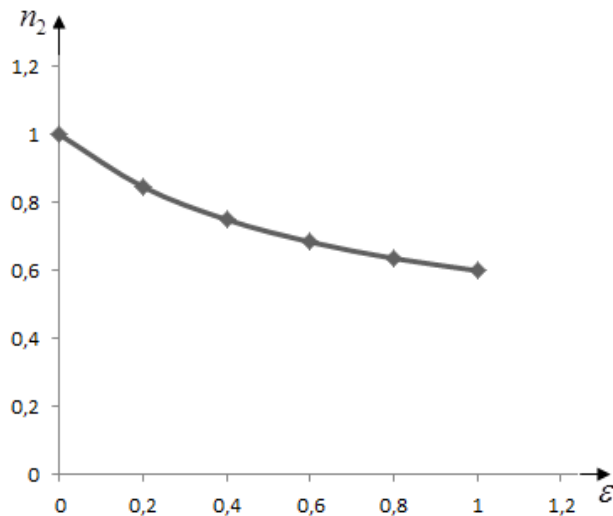


Рис. 3 – Зависимость между параметрами, характеризующими высоту балки

Следует отметить, что нетрудно произвести вычисления при изменении характеристик основания по другим законам.

Conflict of Interest

None declared.

Конфликт интересов

Не указан.

Список литературы / References

1. Толоконников Л.А. О связи между напряжениями и деформациями в разномодульных изотропных средах / Л.А. Толоконников // Инж. журнал. МТТ. – 1968. – № 6. – С. 108–110.
2. Новацкий В. Динамика сооружений. / В. Новацкий – М.: Госстройиздат, 1963 – 376 с.
3. Gadjiev V.D. Lateral oscillations of a beam made of multi-modulus material lying on inhomogeneous visco-elastic foundation / V.D. Gadjiev, N.S. Rzayev // Transaction of NAS of Azerbaijan. – 2014. – Vol. XXXIV. – No. 1. – pp. 125–130.
4. Gadjiev V.D. Oscillations of a nonhomogeneous different modulus beam with a load moving on it situated on nonhomogeneous viscoelastic foundation / V.D. Gadjiev, N.S. Rzayev // Transaction of NAS of Azerbaijan. – 2013. – Vol. XXXIII. – No. 4. – pp. 133–138.
5. Рзаев Н.С. Свободное колебание неоднородного разномодульного стержня, лежащего на двухконстантов основании / Н.С. Рзаев // Строительная механика инженерных конструкций и сооружений. – 2016. – № 6. – С. 38–43.

6. Рзаев Н.С. Об устойчивости плоской формы изгиба балок, изготовленных из материала разносопротивляющихся и сжатию / Н.С. Рзаев // *Elmi əsərlər* [Научные труды] – 2016. – 1. – №3. – С. 172–176.
7. Рзаев Н.С. К устойчивости упруго пластического стержня лежащей на неоднородно упругом основании / Н.С. Рзаев // *Nəzəri və tətbiqi mexanika jurnalı* [Журнал теоретической и прикладной механики] – 2014, №2. – С.132–137.
8. Пастернак П.Л. Основы нового метода расчета фундаментов на упругом основании при помощи двух коэффициентов поете. / П.Л. Пастернак – М.: Стройиздат, 1954. – 89 с.
9. Гасымов Г.М. Поперечное колебание стержня лежащего на неоднородно вязко-упругом основании / Г.М. Гасымов, Н.С. Рзаев // *Elmi əsərlər* [Научные труды] – 2013. – 1. – № 3. – С. 41–45.
10. Гаджиев В.Д. Собственное колебание ортотропной круговой пластинки лежащей на неоднородно вязко-упругом основании / В.Д. Гаджиев // *Вестник современной науки – Россия, Волгоград, 2016. – №5. – С. 20–24.*

Список литературы на английском языке / References in English

1. Tolokonnikov L.A. O svyazi mezhdu napryazheniyami i deformatsiyami v raznomodul'nyh izotropnyh sredah [On the relationship between stresses and deformations in multi-modulus isotropic media] / L.A. Tolokonnikov // *Inzh. zhurnal. MTT* [Eng. journal. MTT]. – 1968. – No. 6. – pp. 108–110 [in Russian]
2. Novatsky V. Dinamika sooruzhenij [Dynamics of structures] / V. Novatsky – M: State Constructing Publishing House, 1963. – 376 p. [in Russian]
3. Gadjiyev V.D. Lateral oscillations of a beam made of multi-modulus material lying on inhomogeneous visco-elastic foundation / V.D. Gadjiyev, N.S. Rzayev // *Transaction of NAS of Azerbaijan. – 2014. – Vol. XXXIV. – No. 1. – pp. 125–130.*
4. Gadjiyev V.D. Oscillations of a nonhomogeneous different modulus beam with a load moving on it situated on nonhomogeneous viscoelastic foundation / V.D. Gadjiyev, N.S. Rzayev // *Transaction of NAS of Azerbaijan. – 2013. – Vol. XXXIII. – No. 4. – pp. 133–138.*
5. Rzaev N.S. Svobodnoye kolebanie neodnorodnogo raznomodul'nogo sterzhnya, lezhashchego na dvuhkonstantov osnovani [Free oscillation of an inhomogeneous multi-modulus rod lying on a two-constant base] / N.S. Rzaev // *Stroitel'naya mekhanika inzhenernykh konstrukcij i sooruzhenij* [Construction mechanics of engineering structures and structures]. – 2016. – № 6. – pp. 38–43 [in Russian]
6. Rzaev N.S. Ob ustojchivosti ploskoj formy izgiba balok, izgotovlennyh iz materiala raznosoprotivlyayushchihsya i szhatiyu [On the stability of the flat shape of the bending of beams made of a material that is highly resistant to compression] / N.S. Rzaev // *Elmi əsərlər* [Scientific works]. – 2016. – 1. – №3. – pp.172–176 [in Russian]
7. Rzaev N.S. K ustojchivosti uprugogo plasticheskogo sterzhnya lezhashchej na neodnorodno uprugom osnovanii [To the stability of an elastic plastic rod lying on an inhomogeneously elastic base] / N.S. Rzaev // *Nəzəri və tətbiqi mexanika jurnalı* [Journal of Theoretical and Applied Mechanics] – 2014, №2. – pp.132–137 [in Russian]
8. Pasternak P.L. Osnovy novogo metoda rascheta fundamentov na uprugom osnovanii pri pomoshchi dvuh koefficientov poete [The basics of a new method for calculating foundations on an elastic foundation using two poete coefficients] / P.L. Pasternak. – Moscow: Construction Publishing House, 1954. – 89 p. [in Russian]
9. Gasymov G.M. Poperechnoe kolebanie sterzhnya lezhashchego na neodnorodno vyazko-uprugom osnovanii [Transverse oscillation of a rod lying on an inhomogeneously viscoelastic base] / G.M. Gasymov, N.S. Rzaev // *Elmi əsərlər* [Scientific works]. – 2013. – 1. – № 3. – pp. 41–45 [in Russian]
10. Gadzhiev V.D. Sobstvennoye kolebanie ortotropnoj krugovoj plastinki lezhashchej na neodnorodno vyazko-uprugom osnovanii [Proper oscillation of an orthotropic circular plate lying on an inhomogeneously viscoelastic base] / V.D. Gadzhiev // *Vestnik sovremennoj nauki* [Bulletin of Modern Science] – Russia, Volgograd, 2016. – №5. – pp. 20–24 [in Russian]